

フィルダムの弾塑性応答解析

農林省農業土木試験場 ○田中忠次 仲野良紀

1. まえがき

有限要素法による動的応答解析手法のうち直接積分法あるいはStep by Step法の系列に属する手法を用いてフィルダムの弾塑性解析を試みる。Step by Step法は安定性に注意を要するが、非線形動的応答解析に適した方法であり、これらに線形化構造物の短時間応答にも利点のある方法といえる。最初にこの系列に属する手法のうち、微小な時間増分で質量系の加速度が線形に変化するという仮定をおいた手法のいくつかについて、フィルダムをモデルにして線形解析を行なって、検討する。次に、非線形解析においては重要な初期応力を推定するため、フィルダムが順次築造されていく過程を追いながら解析していく「築堤解析」を適用する。フィルダムを構成する土や岩塊のマスよ拘束圧下によつてその材料特性が著しく変化するとともに、一定の拘束圧下でも応力-ヒズミ関係は非線形性を示す。築堤進行中に発生する応力は複雑に変化して行い、から築堤終了時におけるフィルダムの応力と変形状態を推定するには、材料の複雑な力学特性を考慮に入れて行なう必要がある。ここでは、水圧的応力の影響を考慮したDrucker-Prager降伏条件に等方性的仕事硬化を組み合わせて、農林省が建設したアスファルトフェイシングタイプの深山ダムの解析を行ない、同時にDuncan等が提案していゝ構成方程式を用いて解析した結果とクロスアームによる実測値との比較を行なつて築堤解析による初期応力推定について論ずる。上述の準備をしたうえで、本論の地震力による動的弾塑性応答解析について述べる。材料の非線形性を考慮した動的解析においては、材料が受けた応力履歴を考慮に入れ、負荷・除荷の繰り返しも追跡可能としなければならないが、Duncan等の構成方程式を用いたうちは困難であるためDrucker-Pragerの降伏条件を適用して、築堤解析から動的応答解析まで弾塑性解析として首尾一貫せざる。

2. Step by Step法による応答解析について

系の運動方程式はマトリックス形式で次式のように表わされる。

$$[M]\{\ddot{X}\}_t + [C]\dot{X}_t + [K]X_t = \{P\}_t \quad (1)$$

ここで $[M]$: 質量マトリックス, $[C]$: ダニビングマトリックス, $[K]$: スチフネスマトリックス, $\{P\}_t$: 荷重ベクトル, $\{X\}_t$: 系の変位ベクトル, $\{\dot{X}\}_t$: 系の速度ベクトル, $\{\ddot{X}\}_t$: 系の加速度ベクトル
離散化した質量系の加速度が微小な時間増分では線形に変化するという仮定を立て(地盤力による応答解析では適切と考えられる), 時間間隔 $t - at$ と t について直接積分すると, 時間 t における速度と変位が求まる。

$$\{\ddot{X}\}_t = \{\ddot{X}\}_{t-at} + \frac{at}{2}\{\ddot{X}\}_{t-at} + \frac{at}{2}\{\ddot{X}\}_t \quad (2)$$

$$\{X\}_t = \{X\}_{t-at} + at\{\dot{X}\}_{t-at} + \frac{at^2}{3}\{\ddot{X}\}_{t-at} + \frac{at^2}{6}\{\ddot{X}\}_t \quad (3)$$

ダンピングマトリックスについては Rayleigh damping を仮定して $[C] = \alpha[M] + \beta[K]$ とする (α, β は定数)。有限要素法の定式化において、質量マトリックスとしては consistent mass と lumped mass の二つがあるが、lumped mass とすれば、計算機の記憶容量が節約できるという実際上は重要な利点があり、さらに安定な領域が増大という結果が得られていることから、後者を採用する。

上記4つの手法によって、高さ10m、天端幅2m、1:2.5の斜面勾配のフィルダム（弾性係数 $E = 5.0 \times 10^3$ t/m² ポアソン比 $\nu = 0.35$ 単位体積重量 $\gamma = 2.0$ t/m³）を想定して、要素数60、節点数48のC.S.T.有限要素に分割して解析した。図には天端の加速度のみを示す。時間間隔は $\frac{1}{100}$ 秒とし、Wilson θ法では $\theta = 1.4$ を採用した。基盤に作用させた地震波はエル・セントロ波で、 $\alpha = 1.025$, $\beta = 0.002$ とした。

これが図に示したように $\frac{1}{100}$ 秒と小さい場合には、いずれの手法によっても、ほとんど同じ結果が得られるといえようただし、手法Ⅲは計算効率が他の手法に比べて悪い。また手法Ⅳはわずかではあるが計算上のダンピングと位相のズレがみられるが実用上は問題ないとと思われる。

3 築堤解析による初期応力の推定

フィルダムのように巨大で、かつ順次築造されていく構造物については、材料がごくとて弾性体であるとしても、築堤過程を考慮に入れた解析を行なうとの必要性が理論的に明らかにされている。実際のフィルダムの築造においては、積みあがられていく层数は莫大なものであるが、築堤解析においては、できるだけ少ない层数でシミュレートしたい。このために、新しく積まれる層を重い液体のように扱い前に積みあがれていける層とのせん断力を減らすようにし、かつ新しく積まれる層の頂部変位を消去していく方法によって、有限の层数で実際の過程を追跡できる。

フィル材を弾塑性的に扱うためにDrucker-Pragerの降伏条件を用いるが、それは次式で与えられる。

$$f = \alpha I_1 + J_2^{\frac{1}{2}} - k = 0 \quad (7)$$

ここで

$$I_1 = \tau_{11}, \quad J_2 = \frac{1}{2} \sigma_{14} \sigma_{14}, \quad \sigma_{14} = \tau_{14} - S \delta_{14}, \quad S = \frac{1}{3} \tau_{11} = \frac{1}{3} I_1 \quad \alpha: \text{定数}, \quad k: \text{仕事硬化のパラメータ}, \quad \delta_{14}: \text{クロネッカーデルタ}$$

associated flow rule が土、ロックに適用可能という仮定をもいて、平面ひずみ状態で、Mohr-Coulombの降伏条件

$$R = c \cdot \cos \varphi - \frac{1}{2} (\tau_{11} + \tau_{22}) \sin \varphi, \quad R = \sqrt{\left(\frac{\tau_{11} + \tau_{22}}{2}\right)^2 + \tau_{12}^2}, \quad c: \text{粘着力}, \quad \varphi: \text{内部摩擦角} \quad \text{と等価におく}$$

$$\alpha = \frac{\tan \varphi}{\sqrt{9+12 \tan^2 \varphi}}, \quad k = \frac{3c}{\sqrt{9+12 \tan^2 \varphi}} \quad (8)$$

を得る。

フィル材は降伏後に仕事硬化を示すとして、等方性の仕事硬化を仮定して弾塑性マトリックスを求めるところとなる（Dilay, Pengien の方法に従つて）。

$$[D]_{ep} = [D]_e - [D]_p \quad (9)$$

$[D]_e$ は平面ひずみ状態における弾性マトリックスで、 $[D]_p$ は次式で与えられる。

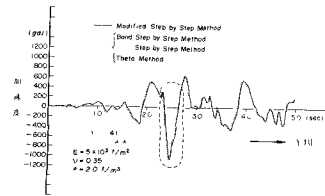


図-1 フィルダム天端における応答加速度

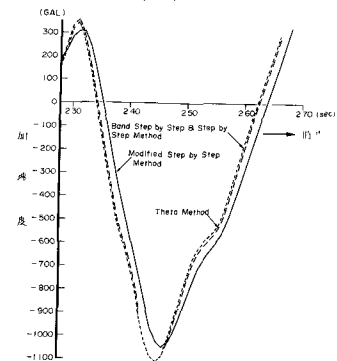


図-1の点線で囲った部分の拡大図

$$[D]_p = \frac{2E}{1+\zeta} \cdot \frac{1-\xi}{A} \begin{bmatrix} B_1^2 & B_1B_2 & B_1B_3 \\ B_2B_1 & B_2^2 & B_2B_3 \\ B_3B_1 & B_3B_2 & B_3^2 \end{bmatrix} \quad \dots \dots \dots \quad (10)$$

二に

$$A = 2 \left(\frac{\sin^2 \varphi}{2(1-\zeta)} + \frac{1}{2} + \frac{3}{2} \cdot \frac{T_{12}^2}{R^2} \right) (1-\xi) + \frac{3}{2} (c \cdot \cos \varphi + \frac{T_{12}^2}{R})$$

$$B_1 = \frac{\sin \varphi}{2(1-\zeta)} + \frac{3(T_{12}-T_{11})}{4R} \quad B_2 = \frac{\sin \varphi}{2(1-2\zeta)} - \frac{T_{11}-T_{12}}{4R}$$

$$B_3 = \frac{T_{12}}{R}$$

$$\bar{s} = \frac{3}{2} s_{14} s_{24} \text{ (相当応力)}$$

$$\xi = \frac{G_t}{G}$$

G : セン断弾性率, G_t : 塑性状態における接線セン断係数

負荷、除荷の基準は $\frac{\partial f}{\partial T_{12}} \delta T_{12}$ が正なら負荷 零なら中立応力、負なら除荷状態として与えられる。解析モデルおよび計算された鉛直変位を図-3, 4に示す。実測値と良い一致を示しておりしたがって計算による応力は十分初期応力として信頼できると考えられる。(大型三軸試験より $c=0, \varphi=41^\circ$, $E=310 \text{ kN/cm}^2, \zeta=0.27, \xi=0.3$ を採用)

4. 動的弾塑性応答解析

前述の動的応答解析と弾塑性解析の手法を組み合せることにより 動的弾塑性応答解析が可能になる。この場合各時間増分毎にスケルプストリックスを構成し直しながら step by step に積分を実行しなければならないので線形計算に比して格段に計算時間を要する。要素数144, 節点数90, $\Delta t=0.01$ 秒の条件で5秒間の応答を計算するのに CPU 1379秒を要した。しかし実際にはもっと粗い分割で良く、たとえば要素数60, 節点数40とした場合10分程度であるから十分実用的と思われる。

なお速度効果を考えて $E=700 \text{ kN/cm}^2$ とした。

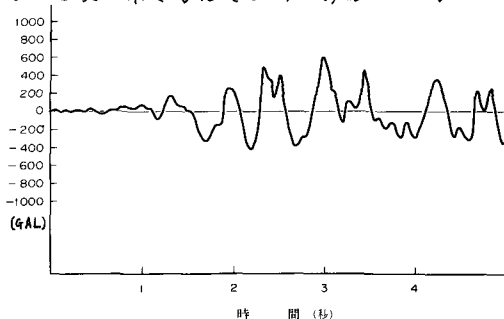


図-5 ダム天端の応答加速度の時間変化。

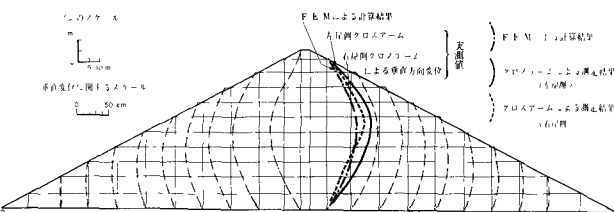


図-3 築堤解析による鉛直方向変位。図には Duncan 等の構成式を用いて計算した変位を示してある。

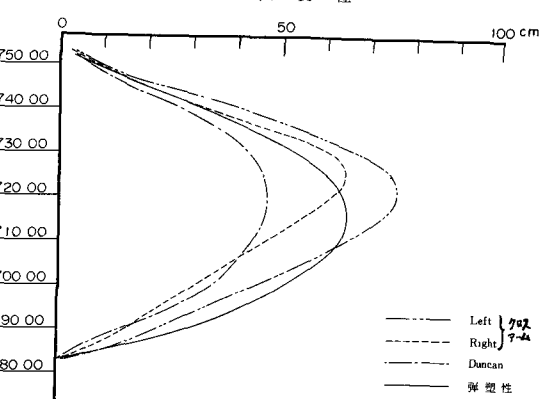


図-4 鉛直変位。図-3 の一部を拡大し弾塑性解析の結果を加えた。

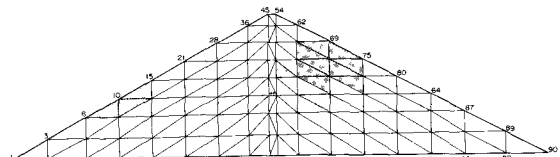


図-6 時刻 2.5 秒における塑性領域。一定の時間毎に図示すれば塑性域の発達状況を把握できる。